

This Page Is Inserted by IFW Operations
and is not a part of the Official Record

BEST AVAILABLE IMAGES

Defective images within this document are accurate representations of the original documents submitted by the applicant.

Defects in the images may include (but are not limited to):

- BLACK BORDERS
- TEXT CUT OFF AT TOP, BOTTOM OR SIDES
- FADED TEXT
- ILLEGIBLE TEXT
- SKEWED/SLANTED IMAGES
- COLORED PHOTOS
- BLACK OR VERY BLACK AND WHITE DARK PHOTOS
- GRAY SCALE DOCUMENTS

IMAGES ARE BEST AVAILABLE COPY.

As rescanning documents *will not* correct images,
please do not report the images to the
Image Problem Mailbox.



(11) **EP 0 936 744 A1**

(12) **EUROPÄISCHE PATENTANMELDUNG**

(43) Veröffentlichungstag:
18.08.1999 Patentblatt 1999/33

(51) Int. Cl.⁶: **H04B 1/00**, H04N 5/60,
H04H 1/00

(21) Anmeldenummer: 98102418.5

(22) Anmeldetag: 12.02.1998

(84) Benannte Vertragsstaaten:
AT BE CH DE DK ES FI FR GB GR IE IT LI LU MC
NL PT SE

- Winterer, Martin, Dipl.-Phys.
79194 Gundelfingen (DE)

(71) Anmelder:
Micronas Intermetall GmbH
79108 Freiburg (DE)

(74) Vertreter: **Sauer, Wolfgang**
MICRONAS INTERMETALL GmbH,
Patentabteilung,
Hans-Bunte-Strasse 19
79108 Freiburg (DE)

(72) Erfinder:
• **Noeske, Carsten, Dipl.-Ing.**
79108 Freiburg (DE)

(54) Trägererzeugungseinrichtung für einen digitalen Demodulator von MPX-Signalen

(57) Trägererzeugungseinrichtung für einen umschaltbaren digitalen Demodulator (D) von digitalen MPX-Signalen (mpx1) mit zugehörigem Pilotsignal (p1), die mit einem beliebigen Takt (t1) verkoppelt sind. Eine Pilotsignal-PLL (10) erzeugt mittels eines ersten Wertezuordners (15) ein erstes Trägersignal (x1.1 bzw. x2.1) und ein zweiter Wertezuordner (20) ein zweites Trägersignal (x1.2). Eine Steuereinrichtung (60) liefert entsprechend dem zu demodulierenden MPX-Signal (mpx1) einen Startwert (i0) und mindestens einen Phasenkorrekturwert (k1, k2). Der Startwert (i0) stellt den Suchbereich der Pilotsignal-PLL (10) für das Pilotsignal (p1) entsprechend dem jeweiligen Standard ein. Die Phasenkorrekturwerte (k1, k2) korrigieren in einer ersten und/oder zweiten Korrektureinrichtung (16, 23) die systembedingten Phasenabweichungen des ersten und/oder zweiten Trägersignals (x1.1, x1.2; x2.1, x1.2).

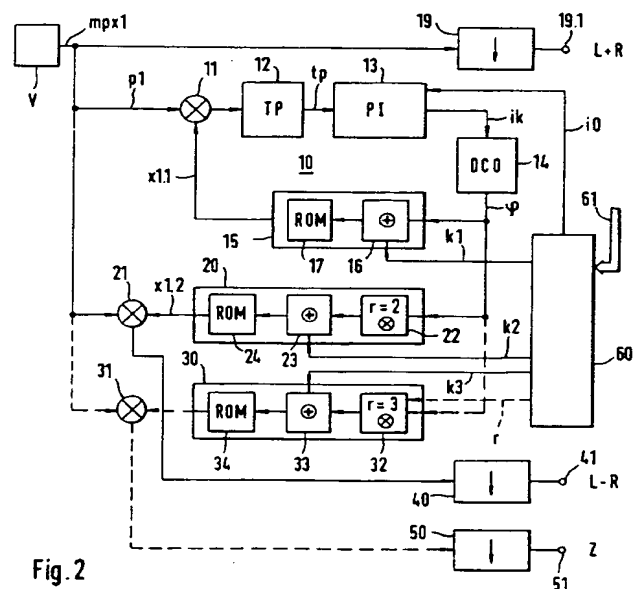


Fig. 2

Beschreibung

[0001] MPX-Signale werden bei der Übertragung des frequenzmodulierten Stereo-Rundfunksignals im UKW-Bereich oder bei der Übertragung des Fernsehtons nach dem BTSC-Standard verwendet. Aber der Toninformation kann das MPX-Signal auch Zusatzinformationen enthalten, beispielsweise die ARI-Kennung und/oder die RDS-Information (ARI = Autofahrer Rundfunk Information), RDS = (Radio Data System). Die Frequenzschemata der verschiedenen MPX-Standards unterscheiden sich nur geringfügig voneinander, sie enthalten in Basisbandlage ein Summensignal R+L, oberhalb des Summensignals ein Pilotsignal und bei der zweifachen Pilotfrequenz in Amplitudenmodulation mit unterdrücktem Träger ein Differenzsignal L-R. Ferner können oberhalb des Differenzsignals Zusatzsignale insbesondere im Bereich der dreifachen Pilotfrequenz vorhanden sein. Der Informationsinhalt der einzelnen Zusatzinformationen ist z.B. mittels einer Einseitenbandmodulation oder insbesondere bei digitalen Informationen mittels einer Quadraturmodulation in das MPX-Signal eingefügt. Die Unterscheidung der einzelnen MPX-Standards ist über die Frequenz des jeweiligen Pilotsignals möglich, die bei Fernsehsignalen nach dem BTSC-Fernsehstandard 15,734 kHz und beim FM-Radio 19 kHz aufweist. Zur Demodulation der einzelnen Signalkomponenten, die über eine Signalmischung erfolgt, sind in dem Demodulator Trägersignale mit der richtigen Frequenz und Phasenlage bereitzustellen, wobei das jeweilige Pilotsignal als Bezugssignal dient. Bei der digitalen Demodulation werden zur Mischung anstatt der analogen Trägersignale digitale Trägersignale verwendet, deren Werte zu den Abtastzeitpunkten den Werten analoger Trägersignale entsprechen. Die im Demodulator gebildeten Trägersignale werden oft auch als Mischungssignale bezeichnet, was jedoch leicht zu einer Verwechslung mit dem Ausgangssignal der Mischung führen kann. Ein Beispiel für einen digitalen Demodulator findet sich in dem Datenblatt: „ITT Semiconductors“ mit der Bezeichnung „CAP 3540B, CAP 3541 B - Car Audio Processor Hardware“, Edition 22. Mai 1997, Bestell-Nr. 6251-434-1PD. Der Verarbeitungstakt in der monolithisch integrierten Schaltung ist dabei mit der Frequenz des Pilotsignals verkoppelt.

[0002] Es ist Aufgabe der Erfindung, einen digitalen Demodulator anzugeben, der unterschiedliche MPX-Standards mit möglichst geringem Zusatzaufwand verarbeitet, wobei die Taktrate des digitalen Trägersignals und damit die Taktrate im digitalen Demodulator von der Frequenz des Pilotsignals unabhängig ist, damit beliebige Taktsysteme verwendbar sind.

[0003] Die Lösung der Aufgabe erfolgt durch eine elektronische Umschaltung des Suchbereiches einer einzigen Pilotsignal-PLL entsprechend dem zu empfangenden MPX-Standard und eine systembezogene Phasenkorrektur in der mit der Pilotsignal-PLL verkoppelten

Trägererzeugungseinrichtung.

[0004] Die Erfindung und vorteilhafte Ausgestaltungen werden nun anhand der Figuren der Zeichnung näher erläutert:

Fig. 1 zeigt die Hauptstufen eines MPX-Signalempfängers,

Fig. 2 zeigt als Blockschaltbild ein erstes Ausführungsbeispiel der Erfindung,

Fig. 3 zeigt zu Fig. 2 ein MPX-Frequenz- und Trägerschema,

Fig. 4 zeigt als Blockschaltbild ein zweites Ausführungsbeispiel,

Fig. 5 zeigt zu Fig. 4 ein MPX-Frequenz- und Trägerschema,

Fig. 6 zeigt als Blockschaltbild einen PI-Regler in der Pilotsignal-PLL und

Fig. 7 zeigt als Blockschaltbild einen vorteilhaften Pilotsignaldetektor.

[0005] Fig. 1 zeigt die typischen Funktionseinheiten eines digitalen Empfängers für MPX-Signale. Einem digitalen Demodulator D ist ein digitalisiertes MPX-Signal mpx1 zugeführt, das eine vorausgehende Vorstufe V erzeugt, wobei die Datenrate einem Takt t1 entspricht. Die an den digitalen Demodulator D angeschlossenen Schaltungen zur Rechts/ Links-Signaltrennung, Klang- und Verstärkungsregelung sind nicht dargestellt.

[0006] Die Vorstufe V kann Teil eines Radio- oder Fernsehempfängers sein. Der empfangene Radio- oder Fernsehkanal wird mittels einer Antenne A empfangen und einem Tuner T zugeführt, der ihn in eine Zwischenfrequenzlage umsetzt. Das frequenzmodulierte Zwischenfrequenzsignal wird mittels eines FM-Demodulators DF demoduliert und damit befindet sich das MPX-Signal MRX in der Basisbandlage. Ein von einem Digitalisierungstakt ts gesteuerter Analog/Digitalumsetzer AD liefert das digitale MPX-Signal mpx1, dessen weitere Verarbeitung in Fig. 2 und Fig. 4 ausführlich beschrieben wird. Alternativ kann auch ein digitaler FM-Demodulator verwendet werden, dem dann ein bereits digitalisiertes Zwischenfrequenzsignal zugeführt ist. Die Taktrate t1 des digitalisierten MPX-Signals mpx1 ist in der Regel identisch mit dem Digitalisierungstakt ts, der auch als Systemtakt cl im digitalen Demodulators D dient und oder mit ihm verkoppelt ist. Die Takterzeugung ist schematisch mittels eines Taktgenerators TG dargestellt.

[0007] Das Ausführungsbeispiel von Fig. 2 zeigt für das digitalisierte MPX-Signal mpx1 eine Trägererzeugungseinrichtung nach der Erfindung. Das von der Vorstufe V mit der Taktrate t1 gelieferte MPX-Signal mpx1 enthält ein Pilotsignal p1, das mittels einer Pilotsignal-PLL 10 herausgefiltert wird. Ein mit dem MPX-Signal mpx1 gespeister Mischer 11 bildet den Eingang der Pilotsignal-PLL. Der Ausgang des Mixers wird mittels eines Tiefpasses 12 gefiltert und einem Regler 13 zuge-

führt, der eine lineare, nichtlineare oder gemischte Regelkennlinie aufweisen kann. Vorteilhaft erweist sich schon ein einfacher P1-Regler mit der Übertragungsfunktion $K(z) = k_p + k_i / (1 + z^{-1})$. Der Koeffizient k_p bestimmt den Proportionalanteil und der Koeffizient k_i den Integralanteil. Der Ausgangswert des Reglers 13 dient als Inkrement i_k für einen digital gesteuerten Oszillator 14, der als überlaufender Akkumulator ausgebildet ist. Der jeweilige Ausgangswert entspricht einem Phasenwert φ , der über eine Winkeltabelle 17 in einem ersten Wertezuordner 15 die Sinus- oder Cosinuswerte des ersten Trägersignals $x_{1.1}$ bildet, das dem zweiten Eingang des Mischers 11 zugeführt ist. Zur Korrektur der Phasenwerte φ enthält der Wertezuordner 15 eine Korrekturereinrichtung 16, in der zum jeweiligen Phasenwert φ ein konstanter Korrekturwert k_1 aus einer Steuereinrichtung 60 mittels einer Modulo-Arithmetik addiert oder subtrahiert wird. Mit dem Korrekturwert k_1 werden in der Pilotsignal-PLL 10 systembedingte Phasenabweichungen korrigiert, die beispielsweise durch die Orthogonalität des Trägersignals $x_{1.1}$ zum Pilotsignal p_1 , Dezimierungsschaltungen oder Verzögerungseinrichtungen entsteht. Unterschiedliche Pilotsignalfrequenzen bedingen unterschiedliche Korrekturwerte k_1 . Durch die Korrektur weist der Ausgangswert φ des digital gesteuerten Oszillators 14 zum jeweiligen Pilotsignal p_1 eine exakt definierte Phasenbeziehung ohne Offset auf.

[0008] Mit der nunmehr bekannten Bezugsphase des Pilotsignals p_1 lassen sich das zweite Trägersignal $x_{1.2}$ für das Differenzsignal L-R und das dritte Trägersignal $x_{1.3}$ für mindestens ein Zusatzsignal Z bilden. Das Summensignal L+R wird mittels eines ersten Dezimierers 19 mit zugehörigem Tiefpaßfilter direkt aus dem MPX-Signal mpx_1 herausgefiltert und ist an einem Anschluß 19.1 abgreifbar.

[0009] Das zweite Trägersignal $x_{1.2}$ zur Umsetzung des Differenzsignals L-R in einem zweiten Mischer 21 wird in einem zweiten Wertezuordner 20 gebildet, der einen mit dem Phasenwert φ gespeisten Frequenzvervielfacher 22 mit Modulstufe, eine optionale zweite Korrekturereinrichtung 23 und eine Winkeltabelle 24 aufweist. Im Frequenzvervielfacher 22 wird der Phasenwert φ mit dem Frequenzvervielfachungswert $r = 2$ multipliziert wobei durch die Modulstufe der bisherige Wertebereich, der 2π entspricht, festgehalten wird. Die zweite Korrekturereinrichtung 23 kann entfallen, wenn die Korrektur schon in der Pilotsignal-PLL 10 erfolgt ist und kein weiterer Phasenfehler auszugleichen ist. Die Reihenfolge der Frequenzvervielfachung und der Korrektur ist vertauschbar, bedarf dann allerdings eines modifizierten Korrekturwertes, da dieser Wert noch mit dem Frequenzvervielfachungswert r multipliziert wird. Das Ausgangssignal des zweiten Mischers 21 enthält das Differenzsignal L-R in Basisbandlage, das mittels eines zweiten Dezimierers 40 mit zugehörigem Tiefpaß herausgefiltert wird, dabei kann der Ausgangstakt t_{out} weiter reduziert werden. Da das an einem Ausgang 41

abgegriffene Differenzsignal L-R in einer nicht dargestellten Matrix mit dem Summensignal L+R kombiniert wird, müssen der Dezimierer 19 und der Dezimierer 40 in den Filtereigenschaften einander gleich sein.

[0010] Wenn in dem MPX-Signal mpx_1 ein oder mehrere Zusatzsignale enthalten sind, dann ist die zugehörige Trägerfrequenz in der Regel an das Pilotsignal p_1 gekoppelt. Zur Gewinnung des oder der Zusatzsignale dient ein dritter Wertezuordner 30, der für einen dritten Mischer 31 ein drittes Trägersignal $x_{1.3}$ bildet. Der dritte Wertezuordner enthält im Eingang einen Frequenzvervielfacher 32 mit Modulstufe. Der Frequenzvervielfachungswert r hat beispielsweise den Wert drei, wenn die Zusatzinformation mit der dreifachen Pilotsignalfrequenz verknüpft ist. Wenn der Frequenzvervielfachungswert r von der Steuereinrichtung 60 für den jeweiligen MPX-Standard vorgegeben wird, dann können beliebige Zusatzinformationen Z ausgewählt werden. Eine entsprechende Programmierung der Steuereinrichtung 60 erfolgt beispielsweise über einen angedeuteten Bus 61. Der dritte Wertezuordner 30 enthält ferner eine optionale Korrekturereinrichtung 33 zur Korrektur der Phase und eine Wertetabelle 34 mit der die jeweiligen Sinus- oder Cosinus-Werte dem Phasenwert φ zugeordnet werden. Die Winkeltabellen 17, 24, 34 für die drei Wertezuordner 15, 20, 30 sind beispielsweise als ein Nur-Lesespeicher (ROM) realisiert. Das Ausgangssignal des dritten Mischers 31 ist das Zusatzsignal Z in Basisbandlage, das mittels eines dritten Dezimierers 50 mit zugehörigem Tiefpaßfilter herausgefiltert wird und an einer Klemme 51 zur Verfügung steht.

[0011] Die Zusatzinformation Z bei der dritten Pilotsignalfrequenz enthält bezüglich der Phase des orthogonal modulierten Trägers unterschiedliche Informationen, nämlich die ARI-Kennung und/oder das digitale RDS-Signal. Mittels der dritten Korrekturereinrichtung 33 oder einer Umschaltung von Sinus- auf Cosinus-Werte in der dritten Winkeltabelle 34 wird diese mit der entsprechenden Phasenlage in die Basisbandlage transformiert. Diese Umschaltung erfolgt im einfachsten Fall über das dritte Korrektursignal k_3 aus der Steuereinrichtung 60.

[0012] Die Beschreibung des Ausführungsbeispiels von Fig. 2 zeigt, daß die gewünschte Umschaltung von Fernsehton auf Radioton lediglich durch einfache Steuersignale aus der Steuereinrichtung 60 erfolgt.

[0013] Fig. 3 zeigt das Frequenzschema des MPX-Signals mpx_1 , das mit einem Taktsignal t_1 abgetastet ist, dessen Frequenz in einem großen Frequenzbereich zwischen 100 kHz bis hinauf zu einigen MHz liegen kann. Das als Linie dargestellte Pilotsignal p_1 definiert die Frequenz und Phasenlage für den Träger des Differenzsignals L-R und den Träger des oder der Zusatzsignale Z. Das zugehörige Trägerschema x im digitalen Demodulator D, das der Taktrate t_1 zugeordnet ist, ist darunter gezeichnet und enthält den ersten Träger $x_{1.1}$ für das Pilotsignal, den zweiten Träger $x_{1.2}$ für das Dif-

ferenzsignal L-R und den dritten Träger $x_{1.3}$ für das Zusatzsignal Z.

[0014] Das Ausführungsbeispiel von Fig. 2 erzeugt die Trägersignale x mit der Taktrate t_1 . Da die Pilotsignal-PLL 10 nur auf das 15 kHz oder 19 kHz aufweisende Pilotsignal p_1 einrasten muß, ist eine Reduktion des Verarbeitungstaktes in diesem Funktionsbereich sinnvoll. Die Verwendung von Dezimiereinrichtungen mit zugehörigen Filtern bedingt jedoch eine weitere Verzögerung der zu verarbeitenden Signale in der Pilotsignal-PLL. Diese kann bei der geforderten exakten Phasenbeziehung für die Trägersignale nicht vernachlässigt werden. Durch die vorbestimmten Korrekturwerte k_1 , k_2 , k_3 können zu den taktbedingten Verzögerungen auch die systembedingten Gruppenlaufzeiten miteingefügt werden.

[0015] Fig. 4 zeigt ein Ausführungsbeispiel der Erfindung, bei dem die Trägererzeugungseinrichtung möglichst weitgehend von Dezimierungseinrichtungen Gebrauch macht. Die große Ähnlichkeit der Schaltungen von Fig. 2 und Fig. 4 ist sofort erkennbar. Da gleiche Funktionseinheiten wie üblich mit den gleichen Bezugszeichen versehen sind, erübrigt sich eine Wiederholung der grundsätzlichen Beschreibung.

[0016] Das Ausführungsbeispiel von Fig. 4 zeigt die Vorstufe V, die das digitale MPX-Signal mpx_1 wieder mit der Taktfrequenz t_1 liefert. Für die Signalverarbeitung in der Pilotsignal-PLL 10 kann wie erwähnt die Taktrate erheblich reduziert werden. Eine erste Dezimierungseinrichtung 19.3 reduziert die Taktrate t_1 des MPX-Signals mpx_1 auf eine niedrigere Taktrate t_2 und bildet ein dezimiertes MPX-Signal mpx_2 . Der ganze Bereich in der Trägererzeugungseinrichtung, der mit der niedrigen Taktrate t_2 läuft, ist in Fig. 4 mittels einer strichpunktierten Linie eingegrenzt. Die Reduktion der Taktrate hat auf die Frequenz des digital gesteuerten Oszillators 14 und den Phasenwert φ außer dem größeren Zeitraster keinen Einfluß. Trotzdem kann aus dem Phasenwert φ nicht ohne weiteres das zweite und dritte Trägersignal $x_{1.2}$, $x_{1.3}$ gebildet werden, weil der Phasenwert φ auf den Ausgang des Dezimierers 19.3, das erste und zweite Trägersignal $x_{1.2}$, $x_{1.3}$ jedoch auf den Eingang des Dezimierers 19.3 bezogen sind. Die schaltungsmäßige Signalverzögerung im Dezimierer 19.3 und die Gruppenlaufzeit seines Filters führt dazu, daß eine zusätzliche Phasenabweichung entsteht. Diese zusätzliche Phasenabweichung kann jedoch ebenfalls mittels des ersten Korrekturwertes k_1 ausgeglichen werden, so daß sich der Phasenwert φ wieder auf das MPX-Signal mpx_1 mit der Taktrate t_1 bezieht.

[0017] Die Taktrate t_{out} des Summensignals L+R am Ausgang 19.1 erfolgt durch Dezimierung und Filterung des MPX-Signals mpx_2 im Dezimierer 19.2. Die beiden Dezimierer 19.3 und 19.2 entsprechen zusammen dem Dezimierer 19 von Fig. 2.

[0018] Der zweite und dritte Wertezuordner 20, 30 von Fig. 4 sind identisch zu den entsprechenden Wertezuordnern von Fig. 2. Dies gilt auch für den zweiten und

dritten Korrekturwert k_1 , k_2 , da der Phasenwert φ durch den ersten Korrekturwert k_1 auf das MPX-Signal mpx_1 vor dem Dezimierer 19.3 bezogen wird. Damit das am Ausgang 41 abgegriffene Differenzsignal L-R, das dem Ausgangstakt t_{out} zugeordnet ist, die gleiche Phasenbeziehung wie das Summensignal L+R aufweist, muß die zugehörige Dezimierungseinrichtung 40.1, 40.2 die gleichen Eigenschaften wie die beiden Dezimierer 19.3, 19.2 für das Summensignal aufweisen. Das Ausgangssignal des zweiten Mischers 21 ist daher zwei in Reihe geschalteten Dezimierern 40.2, 40.1 zugeführt, die identisch zu den entsprechenden Dezimierern 19.3, 19.2 für das Summensignal L+R sind. Der Dezimierer 50 für das Zusatzsignal Z am Ausgang 51 kann unabhängig zu den anderen Dezimierern sein, weil das Zusatzsignal Z separat verarbeitet wird. Da dessen Signalinhalt nur einen sehr geringen Frequenzbereich umfaßt, kann der Dezimierungsfaktor des Dezimierers 50 im Vergleich zu den anderen Dezimierern höher sein.

[0019] Die Reduktion der Taktrate reduziert den Aufwand für Filtereinrichtungen. Daneben ermöglicht die niedrigere Taktrate aber auch, daß einzelne Funktionseinheiten im Multiplexbetrieb laufen können oder daß zumindest Teilfunktionen durch entsprechend programmierte Prozessoren mitübernommen werden, die infolge ihrer hohen Verarbeitungsgeschwindigkeit die einzelnen Teilfunktionen im Hintergrund nacheinander berechnen, weil das niedrigere Taktraster hierfür genügend Rechenzeit zur Verfügung stellt.

[0020] Fig. 5 zeigt das Frequenzschema des dezimierten MPX-Signals mpx_2 , dessen Taktrate durch den zweiten Takt t_2 bestimmt ist, die Frequenzlagen der einzelnen Signalbereiche jedoch zum MPX-Signal mpx_1 identisch sind. Das zugehörige Trägerschema x im digitalen Demodulator D unterscheidet sich gegenüber dem von Fig. 3 dadurch, daß der erste Träger $x_{2.1}$ dem niederen Takt t_2 zugeordnet ist. Die beiden anderen Träger $x_{1.2}$, $x_{1.3}$ sind dem hohen ersten Takt t_1 zugeordnet.

[0021] In Fig. 6 ist der Regler 13 als ein PI-Regler etwas ausführlicher dargestellt. Einer Eingangsklemme 13.1 sind die Ausgangswerte t_p des Pilotsignal-Tiefpasses 12 zugeführt. Die Verarbeitung spaltet sich danach in einen Proportionalzweig und einen Integralzweig - mit einem Multiplizierer 13.2 bzw. mit einem Multiplizierer 13.3 und einem Akkumulator 13.4 - auf. Beide Zweige werden über einen Addierer 13.7 zusammengeführt und bilden am Ausgang 13.9 einen Inkrementwert ik zur Ansteuerung des digital gesteuerten Oszillators 14. Mittels der Koeffizienten k_p , k_i werden die jeweiligen Proportional- bzw. Integralanteile im PI-Regler 13 bestimmt. Der am Anschluß 13.10 zugeführte Startwert i_0 gibt entweder den Startinhalt $i_{0.1}$ des Akkumulators 13.4 vor oder wird als Startwert $i_{0.2}$ dem Ausgangswert ik^* des Addierers 13.7 mittels eines zweiten Addierers 13.8 hinzugefügt. Der Akkumulator 13.4 besteht wie üblich aus einem Addierer 13.5 und einer Speicherein-

richtung 13.6.

[0022] Durch die Vorgabe des Startwertes i_0 im Regler 13 wird der Inkrementwert i_k am Ausgang 13.9 in die Nähe seines Sollwertes gebracht, so daß die Pilotsignal-PLL 10 auf das vorhandene Pilotsignal P1, p2 sicher einrastet und nicht auf ein anderes Signal.

[0023] Damit der digitale Demodulator D auch MPX-Signale mpx_1 , mpx_2 verarbeitet, die ein Mono-Signal jedoch kein Pilot- und kein Differenzsignal enthalten, ist ein Pilotsignaldetektor zweckmäßig. Er schaltet im digitalen Demodulator D die Stereosignalverarbeitung ab, wenn kein Pilotsignal vorhanden ist. Auf diese Art wird verhindert, daß die Pilotsignal-PLL auf zufällige Signale oder gar Rauschen einrastet.

[0024] In Fig. 7 ist ein Ausführungsbeispiel für einen Pilotsignaldetektor 70 dargestellt, der sich besonders vorteilhaft mit der Trägererzeugungseinrichtung von Fig. 2 oder Fig. 4 kombinieren läßt. Am Eingang 71 wird das jeweilige MPX-Signal mpx_1 , mpx_2 mit dem zugehörigen Pilotsignal p_1 , p_2 , am Eingang 72 ein Korrekturwert k_1q und am Eingang 73 der Phasenwert φ zugeführt - am Ausgang 74 ist das gewünschte Pilot-Detektorsignal pd abgreifbar. Der Pilotsignaldetektor 70 enthält einen Wertezuordner 15.1, der identisch zum ersten Wertezuordner 15 in der Pilotsignal-PLL 10 ist und wie dieser eine Korrektureinrichtung 16.1 und eine Winkeltabelle 17.1 enthält. Der Ausgang des Wertezuordners 15.1 liefert ein Trägersignal xq , das um ± 90 Grad gegenüber dem ersten Trägersignal $x_{1.1}$ bzw. $x_{2.1}$ in der Phase gedreht ist. Dieses Trägersignal xq ist dem einen Eingang eines Mischers 75 zugeführt, dessen anderer Eingang mit dem MPX-Signal mpx_1 bzw. mpx_2 gespeist ist. Die richtige Phasenlage des Trägersignals xq wird mittels der Korrektureinrichtung 16.1 zugeführten Korrektursignals k_1q eingestellt. Der Korrekturwert k_1q wird mittels einer Modulo-Arithmetik zum jeweiligen Phasenwert φ addiert oder davon subtrahiert.

[0025] Im Mischer 75 wird somit beim Vorhandensein eines Pilotsignals p_1 , p_2 eine Multiplikation frequenz- und phasengleicher Signale durchgeführt, nämlich die Multiplikation des Pilotsignals p_1 bzw. p_2 mit dem Trägersignal xq . Bei vorhandenem Pilotsignal p_1 , p_2 liefert das Ausgangssignal des Mischers 75 einen positiven Mittelwert, der mittels eines Tiefpaßfilters 76 herausgefiltert und danach einer Bewertungseinrichtung 77 zugeführt wird, die beispielsweise einen Schwellwertdetektor enthält. Das Ausgangssignal der Bewertungseinrichtung 77 ist das gewünschte Pilot-Detektorsignal pd . Die Schwellwertentscheidung in der Bewertungseinrichtung 77 kann auch durch eine Gewichtung ersetzt werden, wenn zur Bildung des Pilot-Detektorsignals pd komplexere Entscheidungskriterien verwendet werden.

Patentansprüche

1. Trägererzeugungseinrichtung für einen digitalen Demodulator (D) von digitalen MPX-Signalen

(mpx_1) mit zugehörigem Pilotsignal (p_1), die an einer Vorstufe (V) abgreifbar, mit einem beliebigen Takt (t_1) verkoppelt und gegebenenfalls unterschiedlichen Standards zugeordnet sind, mit

- einer Pilotsignal-PLL (10), die auf das jeweilige Pilotsignal (p_1) eingerastet ist und in der ein erster Wertezuordner (15) ein dem Pilotsignal (p_1) zugeordnetes erstes Trägersignal ($x_{1.1}$) erzeugt,
- einem zweiten Wertezuordner (20), der mit der Pilotsignal-PLL (10) gekoppelt ist und ein zweites Trägersignal ($x_{1.2}$) mit der doppelten Frequenz des ersten Trägersignals ($x_{1.1}$) erzeugt, und
- einer Steuereinrichtung (60), die entsprechend dem Standard des MPX-Signals (mpx_1) einen Startwert (i_0) und einen ersten und/oder zweiten Korrekturwert (k_1 , k_2) bereitstellt, wobei der Startwert (i_0) den Suchbereich der Pilotsignal-PLL (10) für das Pilotsignal (p_1) einstellt und der erste und/oder zweite Korrekturwert (k_1 , k_2) in einer ersten und/oder zweiten Korrektureinrichtung (16, 23) die systembedingte Phasenabweichung des ersten und/oder zweiten Trägersignals ($x_{1.2}$) korrigiert.

2. Trägererzeugungseinrichtung für einen digitalen Demodulator (D) von digitalen MPX-Signalen (mpx_1) mit zugehörigem Pilotsignal (p_1), die an einer Vorstufe (V) abgreifbar, mit einem beliebigen Takt (t_1) verkoppelt und gegebenenfalls unterschiedlichen Standards zugeordnet sind, mit

- einer Dezimierungseinrichtung (19.3), die aus dem MPX-Signal (mpx_1) ein dezimiertes MPX-Signal (mpx_2) erzeugt, das ein dezimiertes Pilotsignal (p_2) enthält und dessen Taktrate einem zweiten Takt (t_2) entspricht,
- einer Pilotsignal-PLL (10), die auf das jeweilige dezimierte Pilotsignal (p_2) eingerastet ist und in der ein erster Wertezuordner (15) ein dem dezimierten Pilotsignal (p_2) zugeordnetes dezimiertes erstes Trägersignal ($x_{2.1}$) erzeugt,
- einem zweiten Wertezuordner (20), der mit der Pilotsignal-PLL (10) gekoppelt ist und ein zweites Trägersignal ($x_{1.2}$) mit der doppelten Frequenz des dezimierten ersten Trägersignals ($x_{2.1}$) erzeugt, und

- einer Steuereinrichtung (60), die entsprechend dem Standard des MPX-Signals (mpx_1) einen Startwert (i_0) und einen ersten und/oder zweiten Korrekturwert (k_1 , k_2) bereitstellt, wobei

der Startwert (i_0) den Suchbereich der Pilotsignal-PLL (10) für das dezimierte Pilotsignal (p_2) einstellt und der erste und/oder zweite Korrekturwert (k_1 , k_2) in einer ersten und/oder zweiten Korrekturereinrichtung (16, 23) die systembedingte Phasenabweichung des dezimierten ersten und/oder zweiten Trägersignals ($x_{2.1}$, $x_{1.2}$) korrigiert.

5

3. Trägererzeugungseinrichtung nach einem der Ansprüche 1 oder 2, dadurch gekennzeichnet, daß ein dritter Wertezuordner (30) mit der Pilotsignal-PLL (10) gekoppelt ist und ein drittes Trägersignal ($x_{1.3}$) erzeugt, dessen Frequenz mittels eines Frequenzvervielfachers (32) entweder auf ein vorgegebenes, insbesondere ganzzahliges, Frequenzverhältnis zur Frequenz des Pilotsignals (p_1) fest eingestellt oder mittels eines aus der Steuereinrichtung (60) zugeführten Frequenzvervielfachungswertes (r) beliebig einstellbar ist.

10

15

20

4. Trägererzeugungseinrichtung nach Anspruch 3, dadurch gekennzeichnet, daß eine dritte Korrekturereinrichtung (33) im dritten Wertezuordner (30) die systembedingte Phasenabweichung des dritten Trägersignals ($x_{1.3}$) korrigiert und/oder eine definierte Phasenlage einstellt, wozu der dritten Korrekturereinrichtung (30) aus der Steuereinrichtung (60) ein dritter Korrekturwert (k_3) zugeführt ist.

30

5. Trägererzeugungseinrichtung nach einem der Ansprüche 1 bis 4, dadurch gekennzeichnet, daß die erste, zweite und/oder dritte Korrekturereinrichtung (16, 23, 33) zur jeweiligen Korrektur des Phasenwertes φ einen Addierer oder Subtrahierer mit Modulo-Arithmetik enthält.

35

6. Trägererzeugungseinrichtung nach einem der Ansprüche 1 bis 5, dadurch gekennzeichnet, daß zur Erzeugung eines Inkrementwertes (ik) für einen digital gesteuerten Oszillator (14) der Startwert (i_0) einem in der Pilotsignal-PLL (10) enthaltenen Regler (13) zugeführt ist und dort entweder als Startinhalt ($i_{0.1}$) für einen Akkumulator (13.4) dient oder als bleibender Wert ($i_{0.2}$) zum Reglerausgangswert (ik^*) addiert bzw. von ihm subtrahiert wird und damit den Inkrementwert (ik) bildet.

40

45

7. Trägererzeugungseinrichtung nach einem der Ansprüche 1 bis 6, gekennzeichnet durch folgende Merkmale:

50

- die Trägererzeugungseinrichtung enthält einen Pilotsignaldetektor (70) mit
- einem Multiplizierer (75), dessen erster Eingang mit dem MPX-Signal (mpx_1 , mpx_2) und dessen zweiter Eingang mit einem gegenüber

55

dem ersten Trägersignal ($x_{1.1}$; $x_{2.1}$) um ± 90 Grad gedrehten Trägersignal (x_q) gespeist ist, das mittels eines zum ersten Wertezuordner (15) gleichen weiteren ersten Wertezuordners (15.1) und eines modifizierten ersten Korrekturwertes (k_{1q}) gebildet ist,

- einem Tiefpass (76), der an den Ausgang des Multiplizierers (75) angeschlossen ist, und
- einer dem Tiefpass (76) nachgeschalteten Bewertungseinrichtung (77), an deren Ausgang ein Pilot-Detektorsignal (pd) abgreifbar ist.

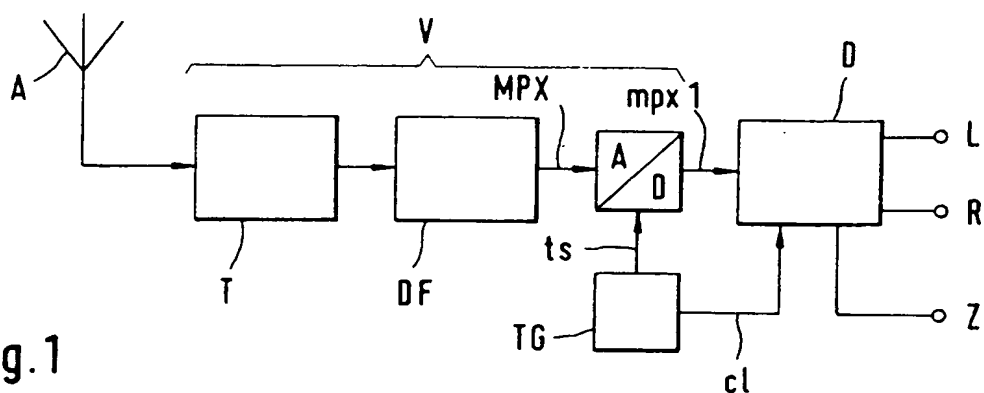


Fig. 1

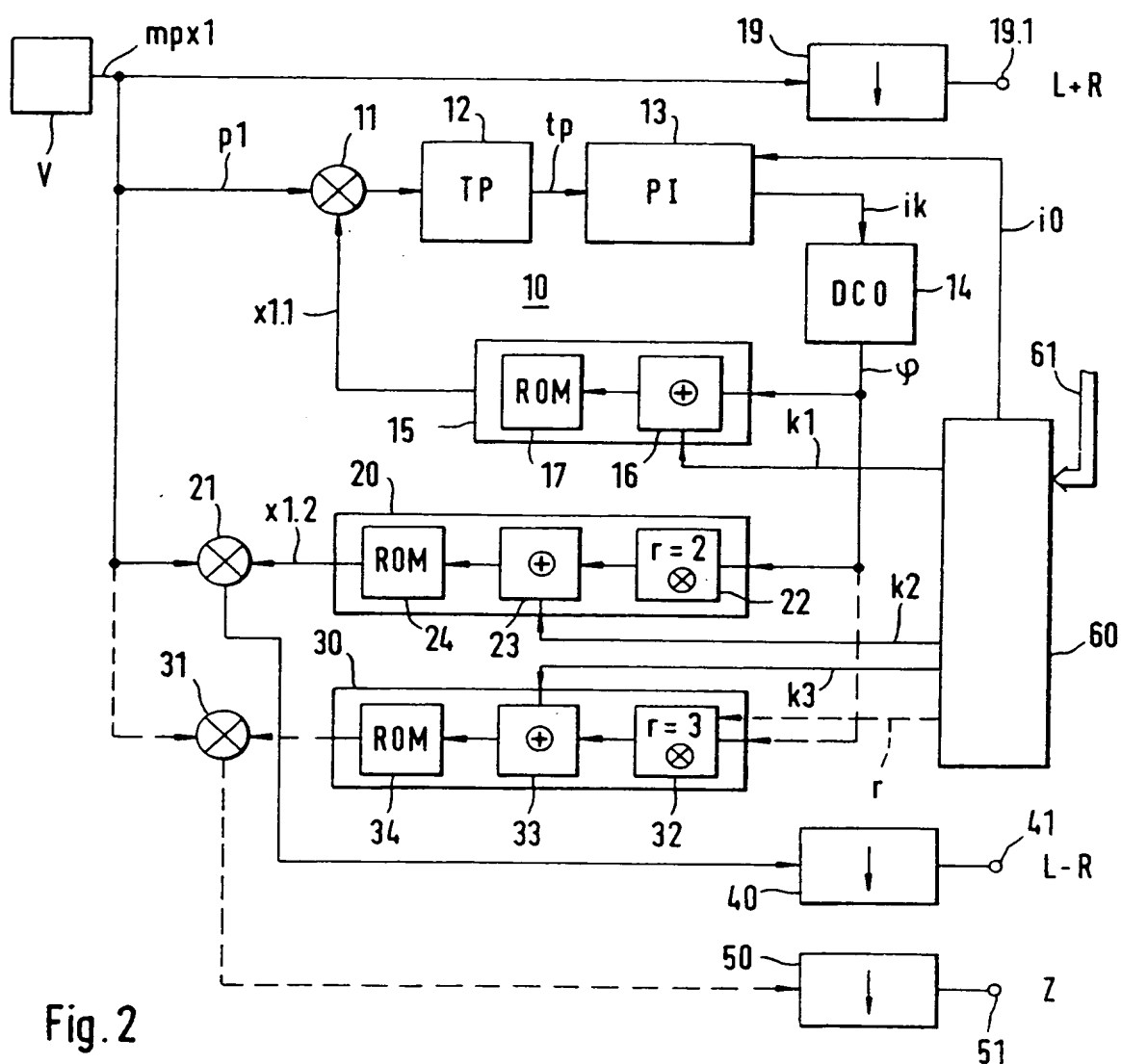


Fig. 2

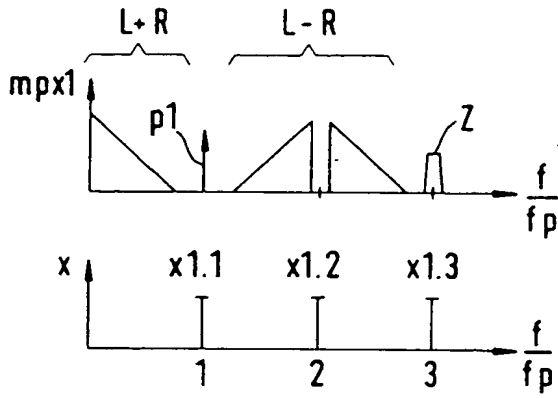


Fig. 3

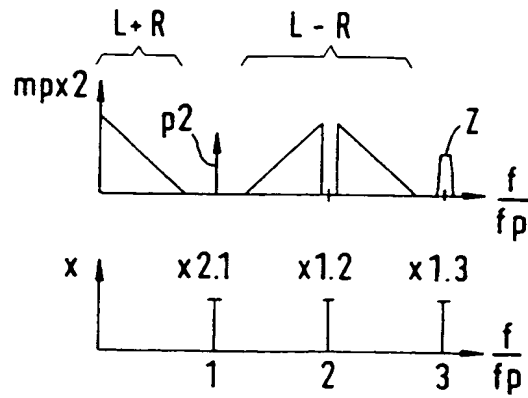


Fig. 5

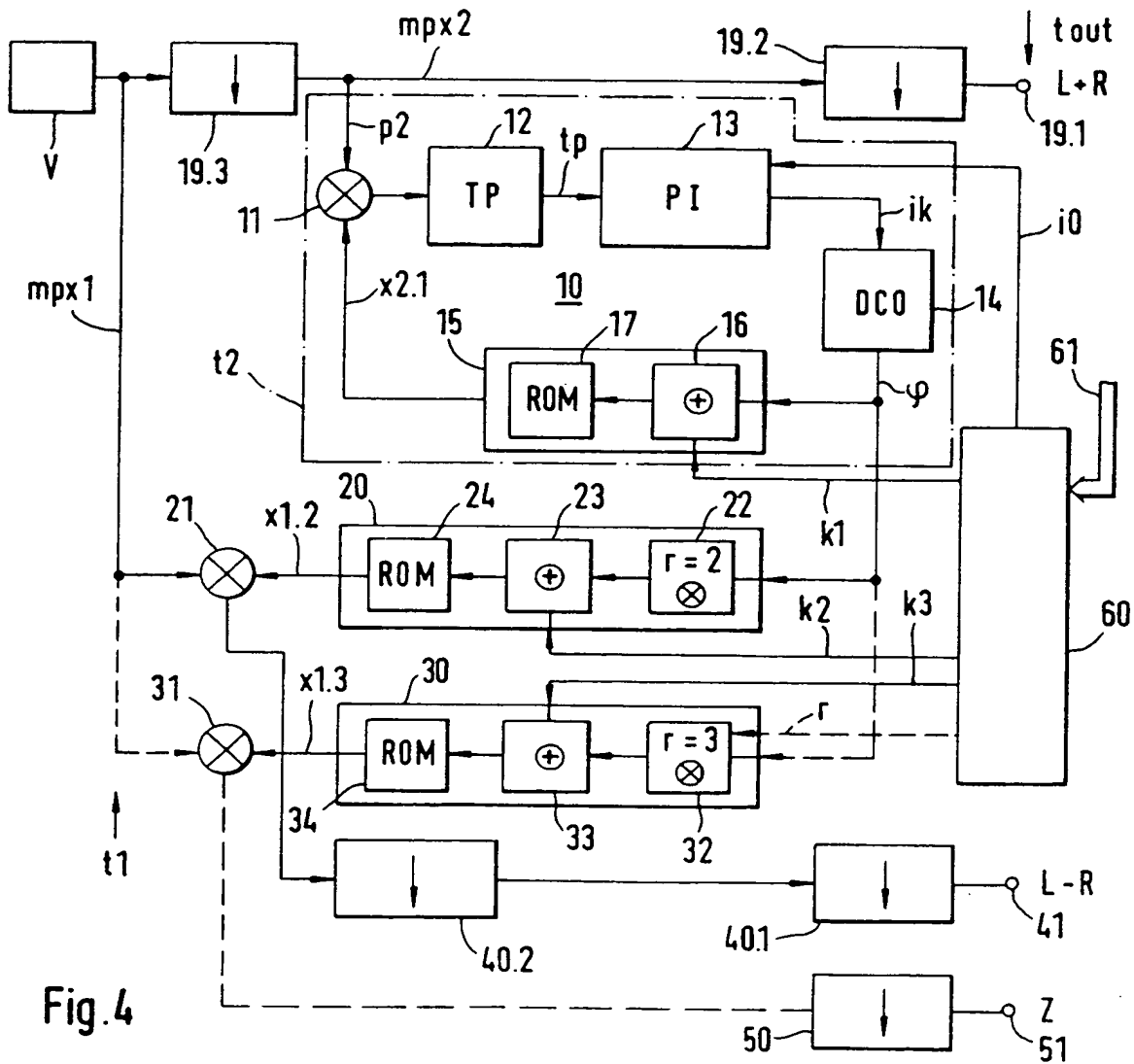


Fig. 4

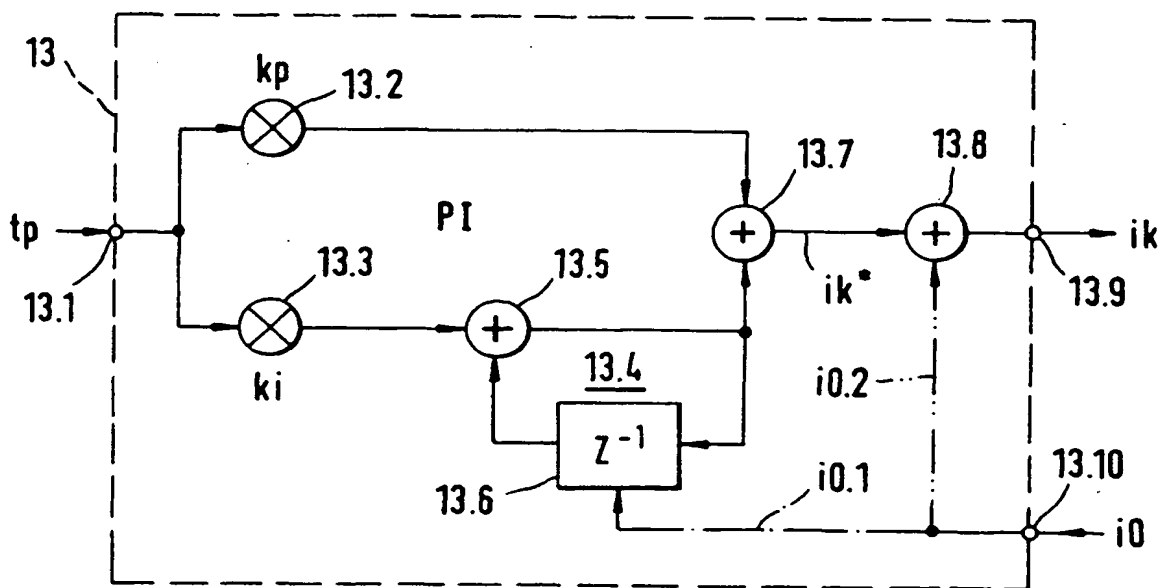


Fig. 6

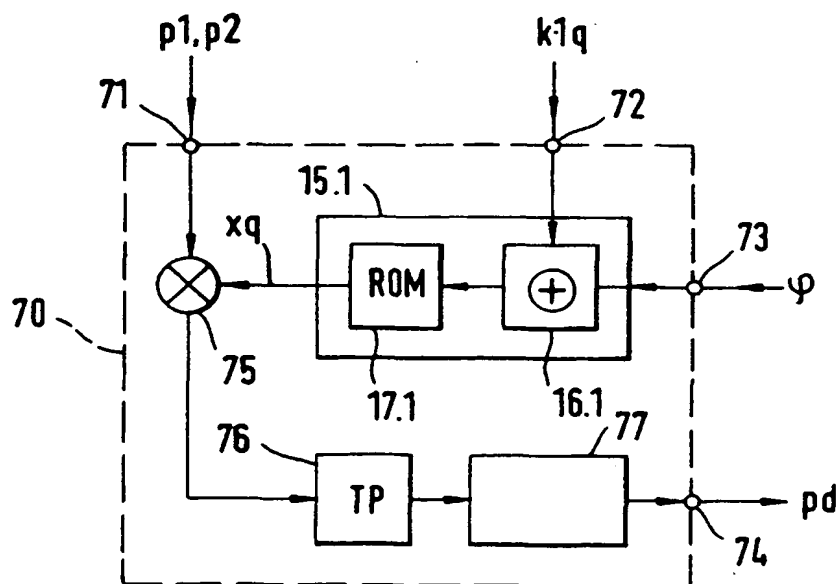


Fig. 7



Europäisches
Patentamt

EUROPÄISCHER RECHERCHENBERICHT

Nummer der Anmeldung
EP 98 10 2418

EINSCHLÄGIGE DOKUMENTE			
Kategorie	Kennzeichnung des Dokuments mit Angabe, soweit erforderlich, der maßgeblichen Teile	Betrifft Anspruch	KLASSIFIKATION DER ANMELDUNG (Int.Cl.6)
A	US 5 467 399 A (WHITECAR JOHN E) 14. November 1995 (1995-11-14) * Zusammenfassung * * Spalte 2, Zeile 38 - Zeile 49 * * Abbildung 1 *	1,6	H04B1/00 H04N5/60 H04H1/00
A	EP 0 305 974 A (RCA LICENSING CORP) 8. März 1989 (1989-03-08) * Spalte 2, Zeile 21 - Spalte 3, Zeile 47 * Abbildung 1 *	1,7	
A	RAZ Z. AND BORTH D.E.: "A Digital Signal Processing Approach to Multichannel Television Sound Decoding" IEEE TRANSACTIONS ON CONSUMER ELECTRONICS, Bd. 32, Nr. 3, August 1986 (1986-08), Seiten 453-461, XP002071916 NEW YORK, USA * Spalte 6, Zeile 34 - Spalte 7, Zeile 35 * Abbildungen 1,5 *	1,7	
A	US 5 357 544 A (HORNER THOMAS G ET AL) 18. Oktober 1994 (1994-10-18) * Zusammenfassung * * Anspruch 18 * * Abbildung 2 *	1	
A	US 5 023 609 A (REICH WERNER) 11. Juni 1991 (1991-06-11) * Spalte 1, Zeile 16 - Zeile 38 * * Spalte 2, Zeile 9 - Spalte 3, Zeile 39 * * Abbildungen 1,3 *	6,7	
Der vorliegende Recherchenbericht wurde für alle Patentansprüche erstellt			
Recherchenort DEN HAAG		Abschlußdatum der Recherche 22. Juli 1998	Prüfer Simon, V
KATEGORIE DER GENANNTEN DOKUMENTE X: von besonderer Bedeutung allein betrachtet Y: von besonderer Bedeutung in Verbindung mit einer anderen Veröffentlichung derselben Kategorie A: technologischer Hintergrund O: nichtschriftliche Offenbarung P: Zwischenliteratur		T: der Erfindung zugrunde liegende Theorien oder Grundsätze E: älteres Patentedokument, das jedoch erst am oder nach dem Anmeldedatum veröffentlicht worden ist D: in der Anmeldung angeführtes Dokument L: aus anderen Gründen angeführtes Dokument &: Mitglied der gleichen Patentfamilie, übereinstimmendes Dokument	

EPO FORM 1503 03.92 (940003)

**ANHANG ZUM EUROPÄISCHEN RECHERCHENBERICHT
ÜBER DIE EUROPÄISCHE PATENTANMELDUNG NR.**

EP 98 10 2418

In diesem Anhang sind die Mitglieder der Patentfamilien der im obengenannten europäischen Recherchenbericht angeführten Patentdokumente angegeben.
Die Angaben über die Familienmitglieder entsprechen dem Stand der Datei des Europäischen Patentamts am
Diese Angaben dienen nur zur Unterrichtung und erfolgen ohne Gewähr.

22-07-1998

Im Recherchenbericht angeführtes Patentdokument	Datum der Veröffentlichung	Mitglied(er) der Patentfamilie	Datum der Veröffentlichung
US 5467399 A	14-11-1995	US 5357574 A	18-10-1994
		AU 677256 B	17-04-1997
		AU 5431094 A	04-07-1994
		CA 2151715 A	23-06-1994
		DE 69304933 D	24-10-1996
		DE 69304933 T	06-02-1997
		EP 0673565 A	27-09-1995
		WO 9414246 A	23-06-1994
		JP 8504549 T	14-05-1996
EP 0305974 A	08-03-1989	US 4817150 A	28-03-1989
		CA 1269451 A	22-05-1990
		CN 1031786 A,B	15-03-1989
		DE 3883111 A	16-09-1993
		DE 3883111 T	03-03-1994
		JP 1072635 A	17-03-1989
		JP 1845142 C	25-05-1994
		JP 5057781 B	24-08-1993
		KR 9606756 B	23-05-1996
US 5357544 A	18-10-1994	KEINE	
US 5023609 A	11-06-1991	EP 0345365 A	13-12-1989
		CN 1038909 A	17-01-1990
		DE 3886740 D	10-02-1994
		JP 2050608 A	20-02-1990

EPO FORM P0461

Für nähere Einzelheiten zu diesem Anhang : siehe Amtsblatt des Europäischen Patentamts, Nr.12/82